

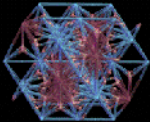
STABILNOST I KRISTALIZACIJA AMORFNIH LEGURA GVOŽĐA

Jana Radaković

Uvod

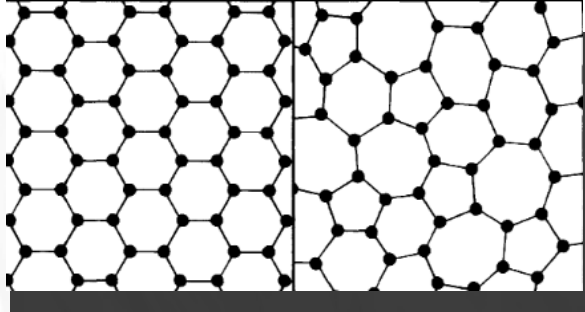
Predstavljen je kratak prikaz radova u kojima su ispitivane amorfne legure bazirane na gvožđu.

Metode ispitivanja → stabilnost i strukturne transformacije
 opseg stabilnosti
 formiranje kristala



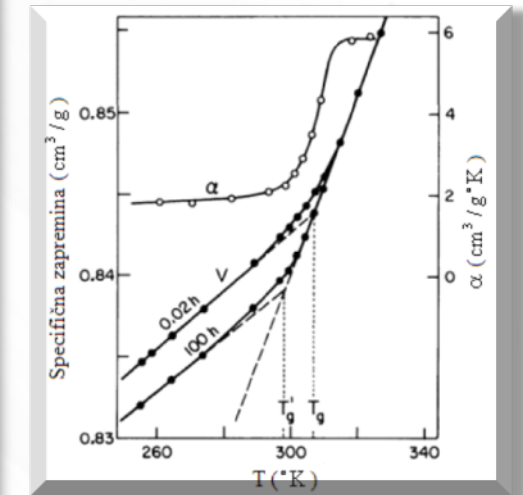
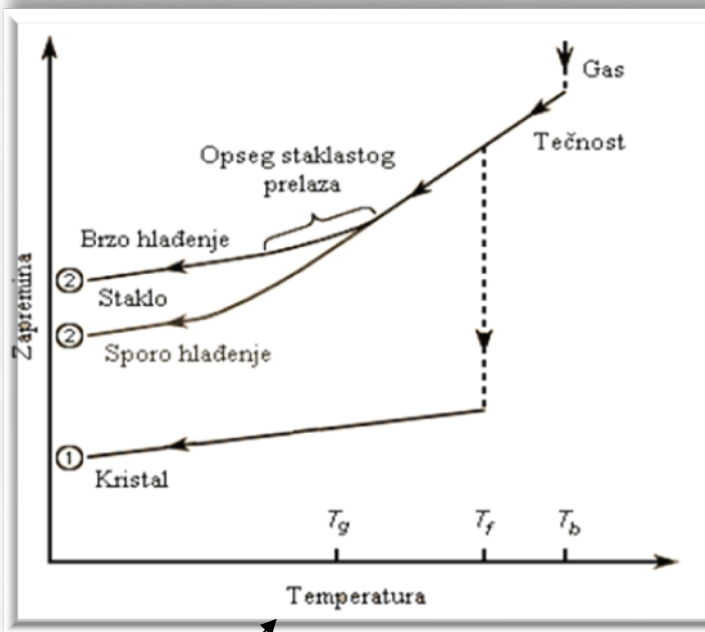
Amorfna čvrsta supstanca - materijal koji nema translatorno periodičan atomski poredak karakterističan za kristalnu supstancu.

- neuređenost na daljinu
- delimično pravilan raspored atoma na blizinu



Kristalna i amorfna legura

- TD prelaz drugog reda
- $T_g = f(V\text{hlađenja}) \Rightarrow T_g$
- kinetička dimenzija faznog prelaza \Rightarrow nije pravi TD fazni prelaz



savremena elektronika - mikrostruktura igra ključnu ulogu (transformatori, senzori, mikroelektronska oprema, čak i zubni i medicinski implanti)

feromagnetne osobine, dobra mehanička svojstava i visoka otpornost na koroziju.

Stabilnost legura Fe

Promenom početnog sastava legura se utiče na poboljšanje osobina kako mehaničkih, tako i električnih ili magnetnih, postajanost pri termičkoj obradi!

Dodatkom B , P , Si ili C , zatim supstitucijom Fe sa Co ili Ni znatno se povećava težnja materijala ka formiranju staklaste legure!

Termalna obrada legura datog početnog sastava -> parcijalna kristalizacija => formiranje ***nanokristala*** čije se **magnetne osobine održavaju na visokim temperaturama**.

vrlo bitno poznavanje termalne stabilnosti
(strukturne transformacije legura u širokom temperaturskom opsegu)

kontrola procesa kristalizacije

Analizom kristalisanja legure se utvrđuje zavisnost procesa nukleacije i rasta kristala od temperature (kontrola dobijanja krajnje mikrostrukture)

Tri načina kristalizacije (u sebi uključuju nukleaciju i rast kristala) zavise od početnog sastava:

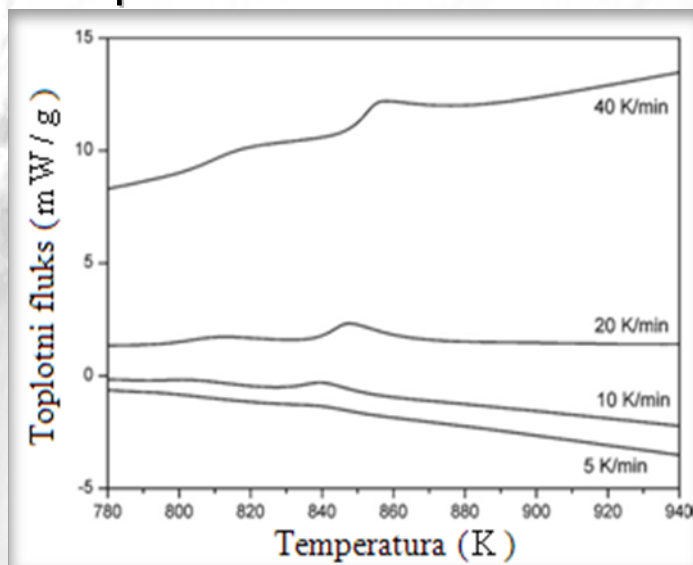
Polimorfna kristalizacija - ne dolazi do promene u sastavu

Primarne kristalizacije - izdvaja se jedan konstituent koji prvi kristališe, koegzistira sa amorfnim sistemom i može da služi kao mesto nukleacije za sekundarnu ili tercijarnu kristalizaciju

Eutektička kristalizacija - simultanu kristalizaciju dve faze

$\text{Fe}_{89.8}\text{Ni}_{1.5}\text{Si}_{5.2}\text{B}_3\text{C}_{0.5}$ XRD i DSC

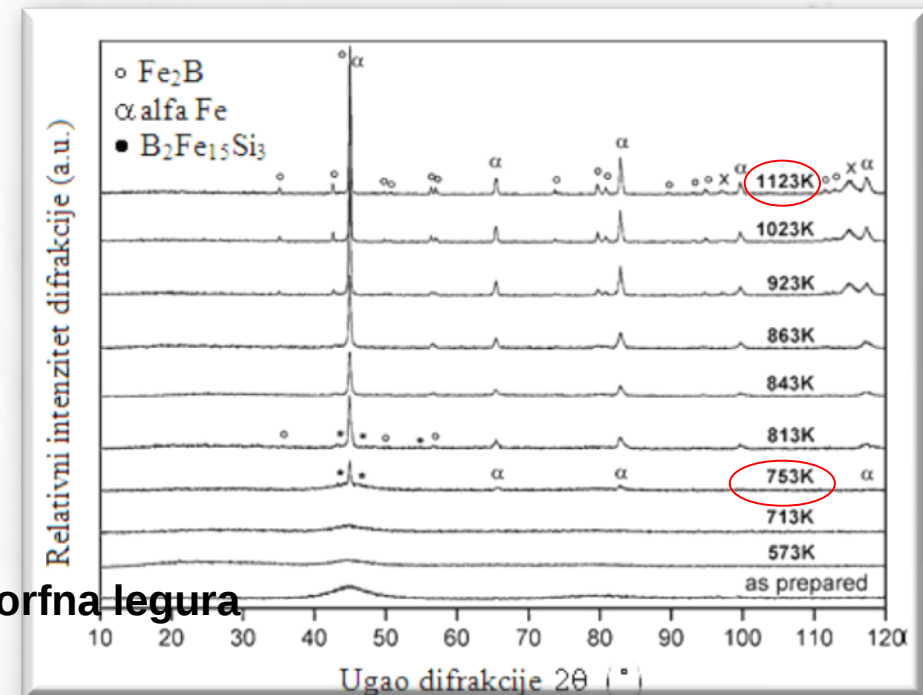
DSC pri različitim brzinama zagrevanja



-višestepena kristalizacija

- $V_{\text{grejanja}} \rightarrow \Rightarrow$ kristalizacioni pikovi pomeraju ka višim temperaturama

XRD za temperature od 573K do 1123K



Ni, C ?

(K/min)	Prvi stepen			Drugi stepen		
	Tp (K)	Ea (kJ/mol)	InA ($\text{A}[\text{min}]^{-1}$)	Tp (K)	Ea (kJ/mol)	InA ($\text{A}[\text{min}]^{-1}$)
5	796.5	486.3±8	Kisindžer	72.7	439.3±8	63.7
10	802.9	Kisindžer		839.6	Kisindžer	Kisindžer
20	811.9	499.9±8		847.9	460.8±8	79.2
40	819.0	Ozava		857.5	Ozava	Ozava

Rietveld refinement metodom je utvrđen fazni sastav legure u funkciji temperature

Procentualno najviše izdvojena faza je α -Fe čiji udeo raste skoro linearno do 920 K, nakon čega ostaje skoro nepromenjen

široki maksimum na difrakcionim uglovima od 40 do 50° : Amorfna faza je prisutna u sistemu (parcijalna kristalizacija)

$T = 1123 \text{ K}, t = 1\text{h} : 4\%$ amorfne faze

$T = 1123 \text{ K}, t = 7\text{h}: 61\% \alpha\text{-Fe i } 39\% \text{ Fe}_2\text{B}$

$a, c_{(\text{Fe}_2\text{B})} = f(T) \rightarrow$ strukturne i stehiometrijske promene faze u toku reakcija formiranja

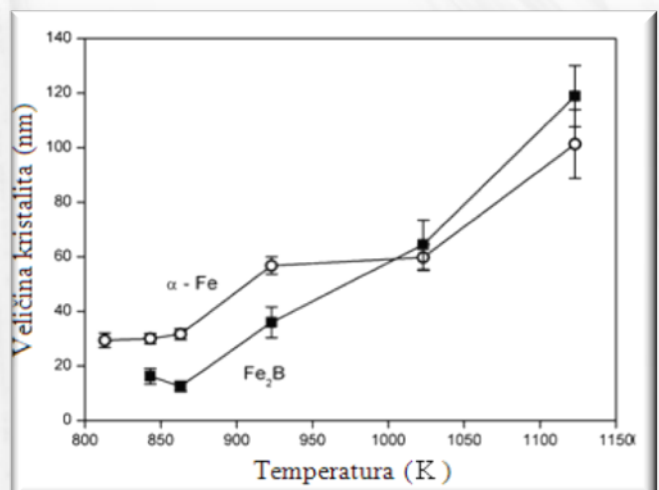
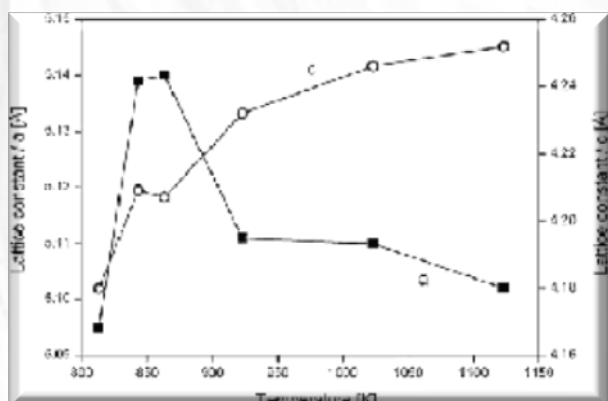
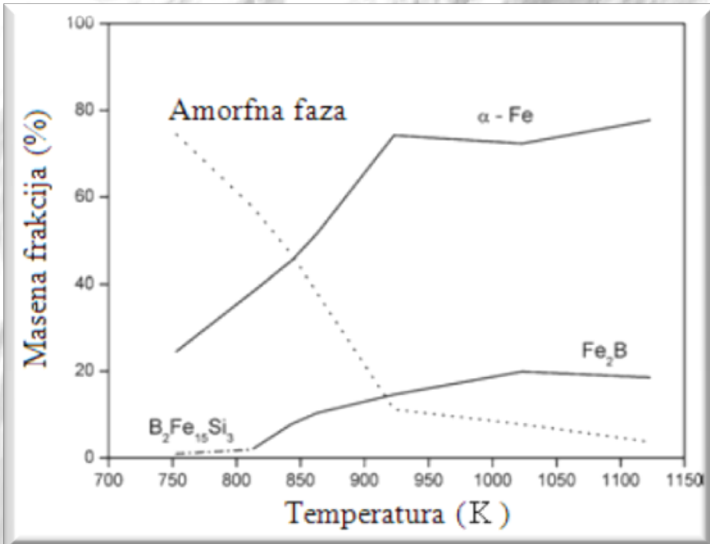
Zavisnost veličine kristalita od temperature:

max tek na poslednjoj temperaturi

$T = 1123 \text{ K}, t = 7\text{h}: 123 \text{ nm} - \alpha\text{-Fe}, 178 \text{ nm} - \text{Fe}_2\text{B}$

$T = 800 - 870 \text{ K}: 29 \text{ nm} - \alpha\text{-Fe}, 16 \text{ nm} - \text{Fe}_2\text{B}$

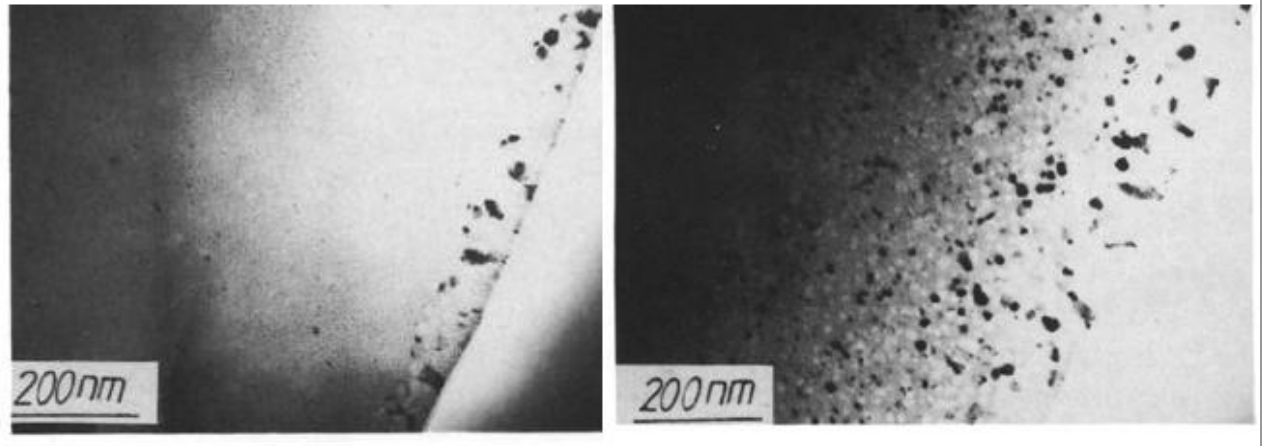
da li je moguće da kristaliti nisu dostigli svoju punu veličinu?



$\text{Fe}_{78}\text{Si}_9\text{B}_{13}$ TEM

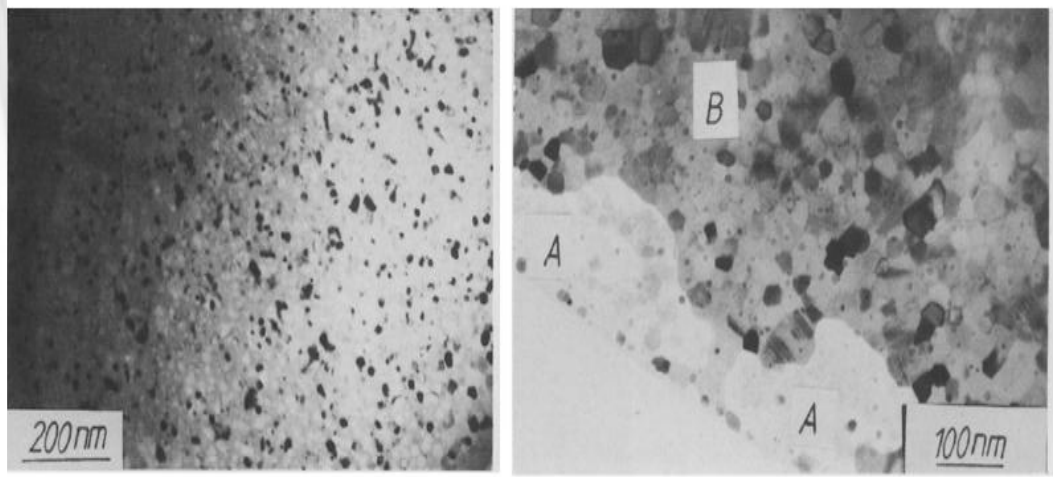
T = 583 K nakon 10 min T = 583 K nakon 15 min

početna legura



t = 10 min : nukleacija dešava na tankim ivicama uzorka; širina oblasti koja je
iskristalisala
150 nm

t = 15 min : veličina kristalita ~ 15 nm;



T = 723 K

XRD: izdvojene faze: α – Fe i Fe_2B

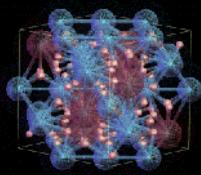
t = 30 min: veličina kristalita ~ 15 nm

T = 813 K

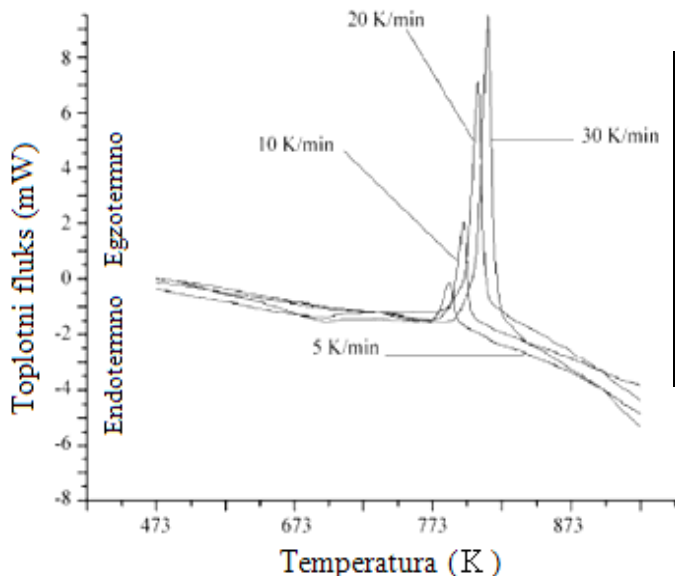
nagli porast veličine zrna se primećuje
na ivicama stanjenog uzorka (A)

veća mobilnost čestica - manja energija
je potrebna za reorganizaciju u kristalno
stanje

$\text{Fe}_{81}\text{B}_{13}\text{Si}_4\text{C}_2$ DSC, XRD, el-magn. osobine



Proučavana je kristalizacija α -Fe

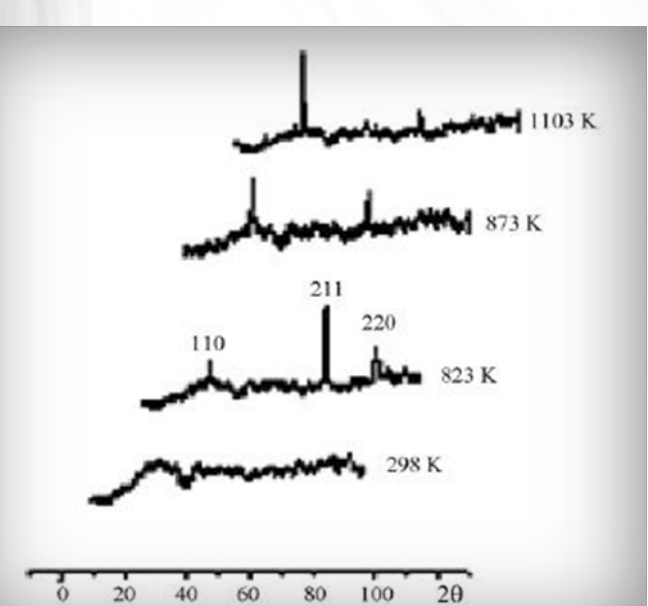


$\beta(\text{K}/\text{min})$	$T_p(\text{K})$	S	$E_a(\text{kJ/mol})$	$A(10^{22} \text{ min}^{-1})$
5	785	0.59	Ozava	Kisindžer
10	793	0.59	338.0 \pm 1.8	351.2 \pm 1.8
20	804	0.70		
30	811	0.70		

Iz zavisnosti parametra asimetrije S se zaključuje da brzina grejanja direktno utiče na mehanizam kristalizacije

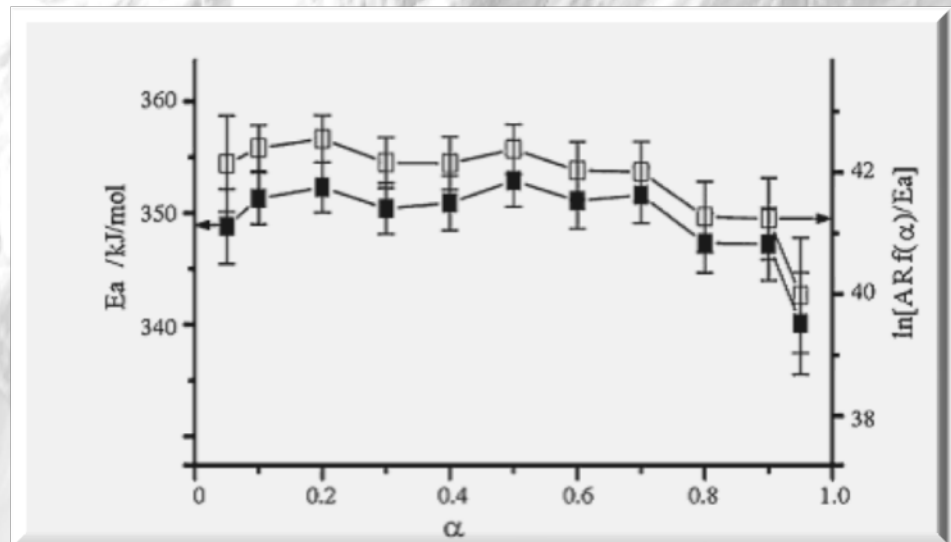
XRD: α -Fe na $T = 823 \text{ K}$

$T \rightarrow$ porast intenziteta pika \Leftrightarrow porast simetričnosti pika:
povećanje kristaliniteta legure



U radu se navodi da su čak na sobnoj temperaturi prisutni α -Fe klasteri, koji počinju da se uređuju u pravilnu kristalnu strukturu na temperaturi od 673 K

zavisnost E_a od stepena napredovanja reakcije α (zapreminska frakcija amorfne legure koja je iskristalisala)



$$E_a \approx \text{const}$$

=>

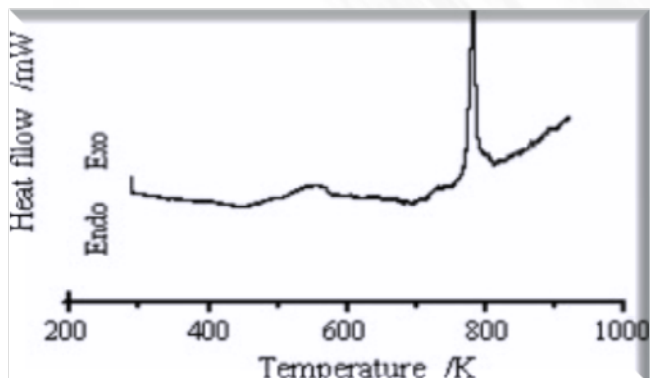
jednostepena kristalizacija

Ista legura drugo istraživanje

Temperatura kristalizacije **Fe-B-Si** legura raste sa porastom sadržaja **Si**, odnosno smanjenjem sadržaja **Fe** i **B**.

Atomsko uređenje u dva stepena , $f(T)$: 1. uređenje kratkog dometa
2. preuređivanje atoma koje vodi kristalizaciji

legure



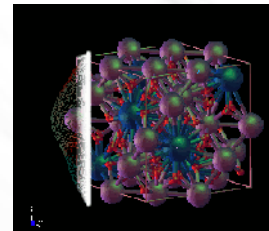
Termogram za 5 K/min

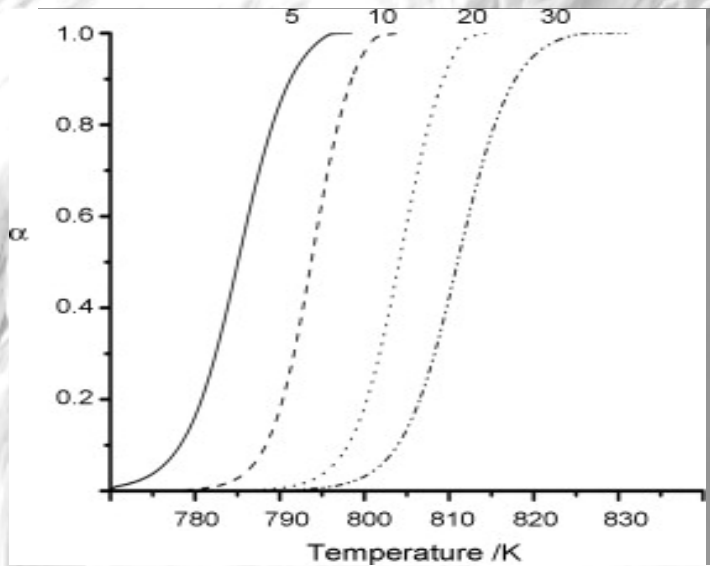
T od 470 K do 670 K - strukturnim relaksacionim procesima u tek

pripremljenoj leguri

$$T = 680 \text{ K} - T_c$$

T = 800 K – kristalizacioni pik





DSC: stepen iskristisanosti legure, α , u zavisnosti od T

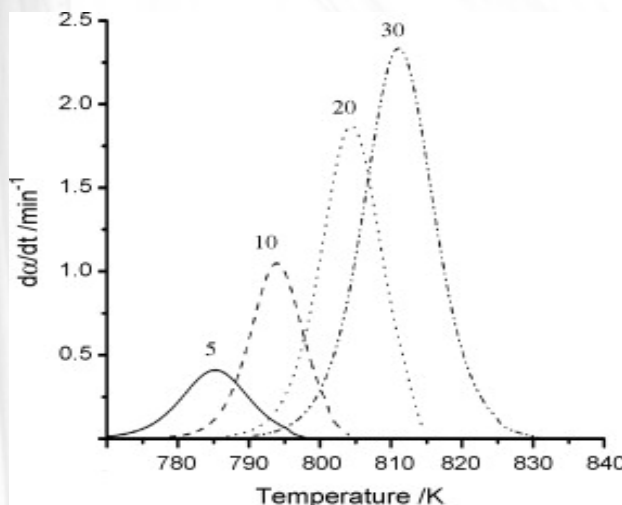
α je određeno odnosom S_T/S

S - površina ispod kristalizacionog pika od T_i (temperatura na kojoj je kristalizacija počela) do T_f (temperatura na kojoj se završava)

S_T - oblast ispod pika između T_i i neke odabrane temperature između T_i i T_f

Autori navode da oblik zavisnosti ukazuje na kristalizaciju u balku, čime je isključena površinska kristalizacija

1. dominantan proces nukleacije
2. dominantnu ulogu preuzima rast klica
3. veličina i broj kristalita dostižu zasićenost



da/dt u funkciji temperature

Pikovi se pomjeraju ka višim vrednostima temperature
 => proces kristalizacije direktno zavisi od uslova pod kojim se dešava **ne može** da se karakteriše jednom konačnom T

Simetričnost $\leq V_{\text{grejanja}}$ => može da bude posledica paralelnog odvijanja više procesa i to istovremenog formiranja i rasta kristala

Proces kristalizacije može da se prati preko kinetičkih parametara (termičke metode analize); Reakciju kristalizacije opisuje Avramijeva jednačina

$$f(\alpha) = 1 - \exp(-(kt)^n)$$

n - Avramijev eksponent: odnosi se na mehanizam nukleacije i rasta

$n = m + q$ - veza sa brojem dim. u kojima se kristalizacija odigrava (zavisi od reakcionog mehanizma)

Kinetički parametri se izvode uglavnom iz zavisnosti temperaturskog maksimuma fazne transformacije T_p od brzine grejanja

β (K/min)	α_{\max}	$\Delta lo T / \Delta hi T$
5	0.51	1.0
10	0.53	1.0
20	0.53	0.9
30	0.55	0.8

T (K)	n
791	3.92
793	4.08
795	4.07

n se menja isključivo u okviru greške

Za sve tri temperature ima vrednosti oko 4.0:
zaključak je da je kinetika kristalizacije
nezavisna od temperature

$m = 3 \Rightarrow$ nukleacija je 3D, konstantna brzina

$q = 0$ za trenutnu nukleaciju
 $q = 1$ za nukleaciju koja se
odigrava konstantnom
brzinom
 $q > 1$ u slučaju ubrzane
nukleacije

Ista legura treće istraživanje

DSC metod: kristalizacija mora da dešava na odgovarajućim temperaturama, toplotni prenos mora da bude dovoljno veliki da bi se registrovao

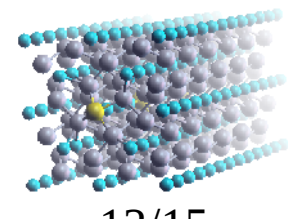
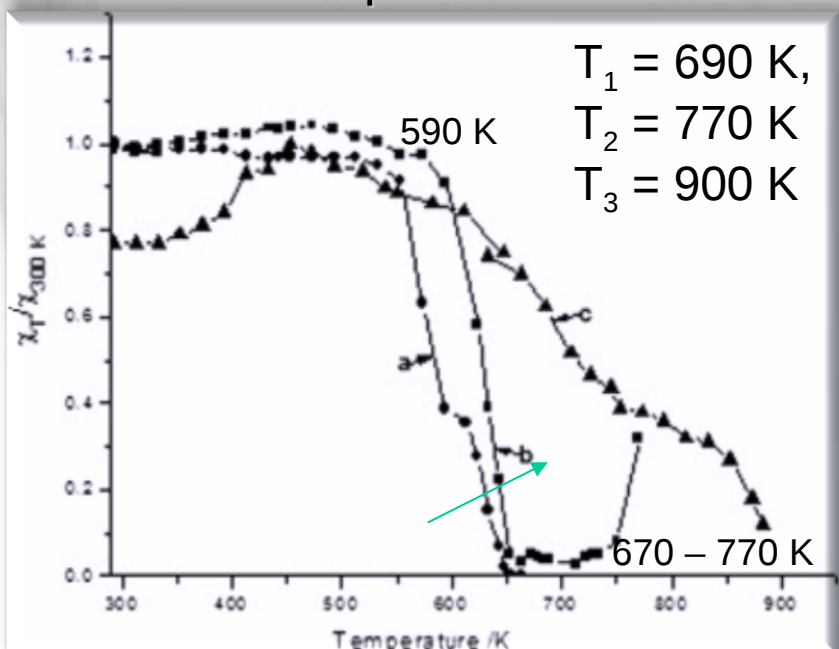
Kada ovi uslovi nisu ispunjeni (kod legura Fe) se pribegava praćenju električnih ili magnetnih osobina uzorka

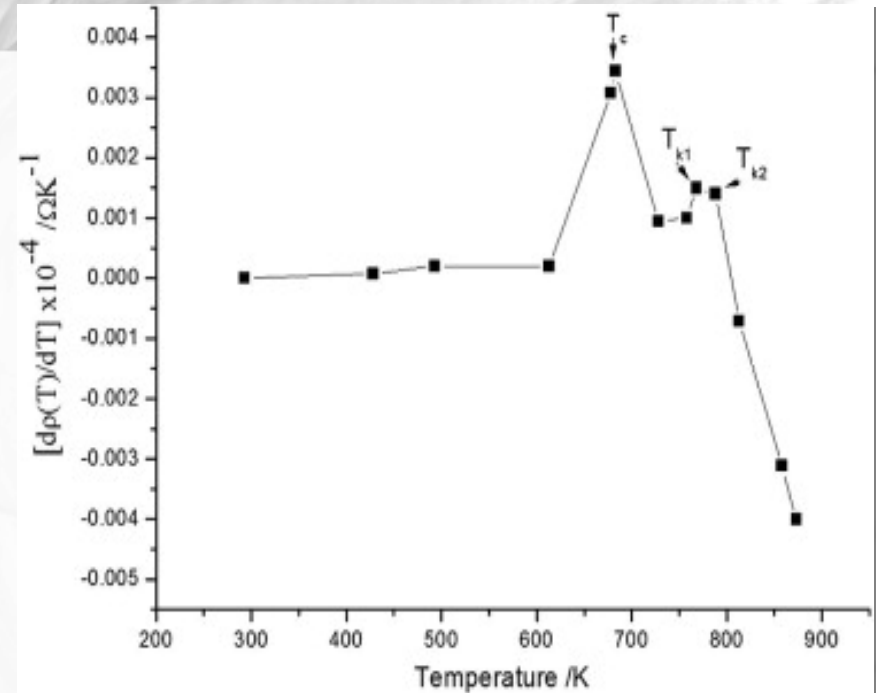
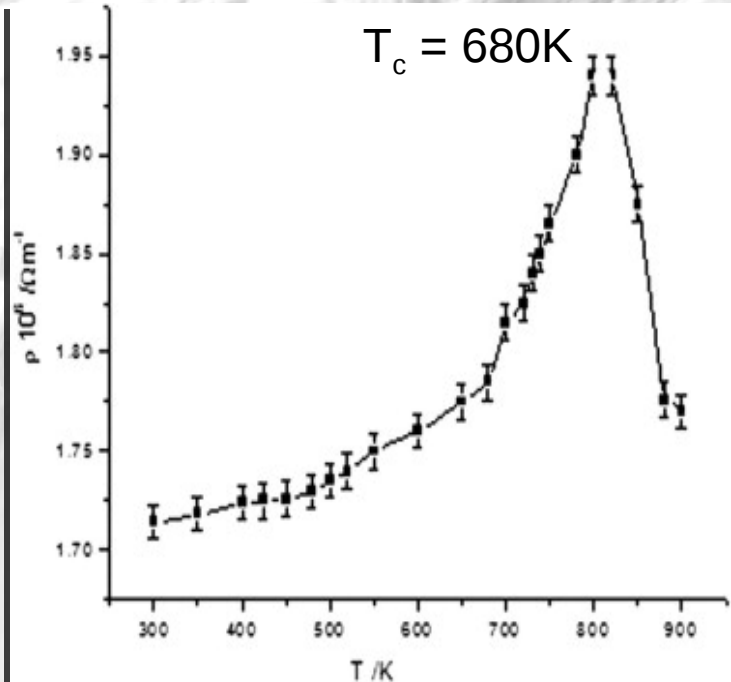
Ispod T_c materijal je feromagnetan, odnosno ima paralelno orijentisane magnetne momente u okviru magnetnih domena. Porastom temperature paralelizacija magnetnih momentata se smanjuje, odnosno javlja se kompletna neuređenost, čime materijal postaje paramagnetan

temperaturska zavisnost
relativne magnetne
susceptibilnosti

Zagrevanjem amorfne legure se povećava uređenost njene strukture

posle trećeg ciklusa legura je isforsirana?



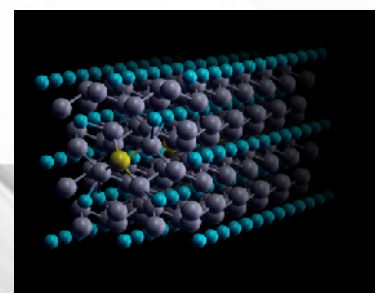


Električni otpor legure se menja u zavisnosti od njenog stepena iskristalisanosti

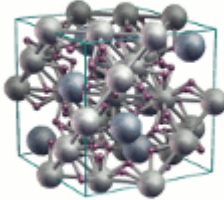
Kristalne legure - otpor je manji

Feroelektrici: provodni e⁻ se „rasipaju“ na magnonima, čime se povećva otpornost
 legure Paramagneti: haotično orijentisani e⁻ van magnetnog polja što dovodi do slobodnog kretanja provodnih elektrona

T_{k1} i T_{k2} ukazuju na složen proces kristalizacije



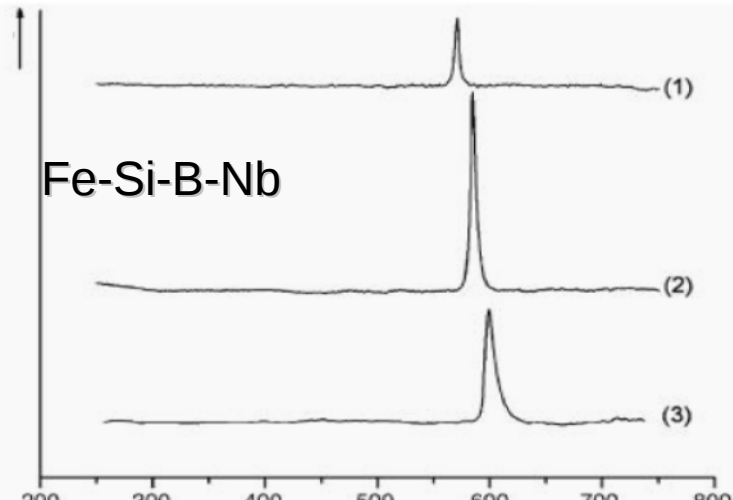
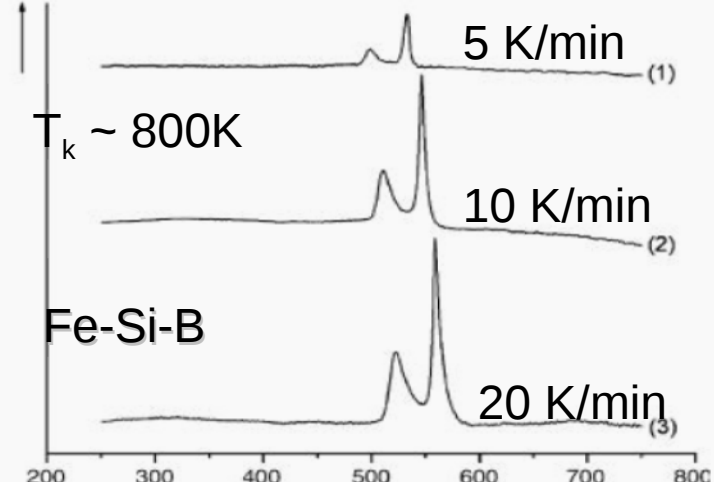
$\text{Fe}_{74.5}\text{Si}_{13.5}\text{B}_9\text{Nb}_3$ i $\text{Fe}_{77.5}\text{Si}_{13.5}\text{B}_9$



Nb povećava stabilnost amorfnih sistema

DSC:

$T = 823 \text{ K}$



$\beta \text{ (K/min)}$

	5	10	20
Fe-Si-B			
$T_{p1} \text{ (K)}$	792.05	799.75	805.25
$T_{p2} \text{ (K)}$	815.85	824.95	840.95
$\Delta H_1 \text{ (J/g)}$	31.3	29.6	46.7
$\Delta H_2 \text{ (J/g)}$	59.5	51.9	69.6
$E_{a1} \text{ (kJ/mol)}$		376	
$E_{a2} \text{ (kJ/mol)}$		324	

XRD: $\text{Fe}_{77.5}\text{Si}_{13.5}\text{B}_9$ - Fe_3Si

Fe_3B

Fe_2B

$\text{Fe}_{74.5}\text{Si}_{13.5}\text{B}_9\text{Nb}_3$ - Fe_{23}B_6

Fe_3Si

Fe_3B

kristalizacija Fe-Si-B legure se odvija u dva stepena pre nego što dostigne potpunu stabilnost

